

Starkniederschlagshöhen und -spenden gemäß KOSTRA-DWD-2010R

Auswertungszeitraum von 1951 - 2010, Januar - Dezember

Rasterfeld: 92022

Zeile: 92

Spalte: 22

Seite: 1/2

| Dauerstufe D | Wiederkehrzeit T | | | | | | | | | | | | | | | | | | |
|--------------|------------------|------|------------|------|------------|------|------------|------|------------|------|------------|-------|------------|-------|------------|-------|------------|-------|------------|
| | 1 a | | 2 a | | 3 a | | 5 a | | 10 a | | 20 a | | 30 a | | 50 a | | 100 a | | |
| min | Std | mm | l / (s ha) | mm | l / (s ha) | mm | l / (s ha) | mm | l / (s ha) | mm | l / (s ha) | mm | l / (s ha) | mm | l / (s ha) | mm | l / (s ha) | mm | l / (s ha) |
| 5 | | 5,9 | 196,7 | 7,9 | 263,3 | 9,0 | 300,0 | 10,5 | 350,0 | 12,4 | 413,3 | 14,4 | 480,0 | 15,6 | 520,0 | 17,0 | 566,7 | 19,0 | 633,3 |
| 10 | | 9,3 | 155,0 | 11,9 | 198,3 | 13,5 | 225,0 | 15,5 | 258,3 | 18,1 | 301,7 | 20,8 | 346,7 | 22,3 | 371,7 | 24,3 | 405,0 | 26,9 | 448,3 |
| 15 | | 11,5 | 127,8 | 14,7 | 163,3 | 16,5 | 183,3 | 18,8 | 208,9 | 22,0 | 244,4 | 25,2 | 280,0 | 27,0 | 300,0 | 29,3 | 325,6 | 32,5 | 361,1 |
| 20 | | 13,1 | 109,2 | 16,6 | 138,3 | 18,7 | 155,8 | 21,4 | 178,3 | 24,9 | 207,5 | 28,5 | 237,5 | 30,6 | 255,0 | 33,2 | 276,7 | 36,8 | 306,7 |
| 30 | | 15,1 | 83,9 | 19,4 | 107,8 | 21,8 | 121,1 | 25,0 | 138,9 | 29,2 | 162,2 | 33,5 | 186,1 | 36,0 | 200,0 | 39,1 | 217,2 | 43,3 | 240,6 |
| 45 | | 16,9 | 62,6 | 21,9 | 81,1 | 24,9 | 92,2 | 28,6 | 105,9 | 33,7 | 124,8 | 38,7 | 143,3 | 41,7 | 154,4 | 45,4 | 168,1 | 50,5 | 187,0 |
| 60 | | 17,9 | 49,7 | 23,6 | 65,6 | 27,0 | 75,0 | 31,2 | 86,7 | 36,9 | 102,5 | 42,6 | 118,3 | 46,0 | 127,8 | 50,2 | 139,4 | 55,9 | 155,3 |
| 90 | | 19,9 | 36,9 | 25,9 | 48,0 | 29,4 | 54,4 | 33,8 | 62,6 | 39,7 | 73,5 | 45,7 | 84,6 | 49,2 | 91,1 | 53,6 | 99,3 | 59,6 | 110,4 |
| 120 | 2 | 21,5 | 29,9 | 27,6 | 38,3 | 31,2 | 43,3 | 35,8 | 49,7 | 41,9 | 58,2 | 48,1 | 66,8 | 51,7 | 71,8 | 56,2 | 78,1 | 62,4 | 86,7 |
| 180 | 3 | 23,9 | 22,1 | 30,3 | 28,1 | 34,1 | 31,6 | 38,8 | 35,9 | 45,2 | 41,9 | 51,6 | 47,8 | 55,4 | 51,3 | 60,1 | 55,6 | 66,6 | 61,7 |
| 240 | 4 | 25,8 | 17,9 | 32,4 | 22,5 | 36,2 | 25,1 | 41,1 | 28,5 | 47,8 | 33,2 | 54,4 | 37,8 | 58,3 | 40,5 | 63,1 | 43,8 | 69,8 | 48,5 |
| 360 | 6 | 28,6 | 13,2 | 35,6 | 16,5 | 39,6 | 18,3 | 44,7 | 20,7 | 51,6 | 23,9 | 58,5 | 27,1 | 62,6 | 29,0 | 67,7 | 31,3 | 74,6 | 34,5 |
| 540 | 9 | 31,9 | 9,8 | 39,1 | 12,1 | 43,3 | 13,4 | 48,6 | 15,0 | 55,8 | 17,2 | 63,0 | 19,4 | 67,3 | 20,8 | 72,6 | 22,4 | 79,8 | 24,6 |
| 720 | 12 | 34,4 | 8,0 | 41,8 | 9,7 | 46,1 | 10,7 | 51,6 | 11,9 | 59,1 | 13,7 | 66,5 | 15,4 | 70,9 | 16,4 | 76,3 | 17,7 | 83,8 | 19,4 |
| 1080 | 18 | 38,2 | 5,9 | 46,0 | 7,1 | 50,5 | 7,8 | 56,2 | 8,7 | 64,0 | 9,9 | 71,8 | 11,1 | 76,3 | 11,8 | 82,0 | 12,7 | 89,8 | 13,9 |
| 1440 | 24 | 41,2 | 4,8 | 49,2 | 5,7 | 53,9 | 6,2 | 59,8 | 6,9 | 67,8 | 7,8 | 75,8 | 8,8 | 80,5 | 9,3 | 86,4 | 10,0 | 94,4 | 10,9 |
| 2880 | 48 | 52,1 | 3,0 | 61,0 | 3,5 | 66,2 | 3,8 | 72,8 | 4,2 | 81,7 | 4,7 | 90,6 | 5,2 | 95,8 | 5,5 | 102,3 | 5,9 | 111,2 | 6,4 |
| 4320 | 72 | 59,8 | 2,3 | 69,2 | 2,7 | 74,7 | 2,9 | 81,7 | 3,2 | 91,1 | 3,5 | 100,5 | 3,9 | 106,0 | 4,1 | 113,0 | 4,4 | 122,4 | 4,7 |

Angaben in mm: Bemessungsniederschlagswerte h(n)

Angaben in l / (s ha): Regenspende R(n) mit $R(n) = h(n) \times 1,666667 / D[\text{min}]$

Toleranzbereiche:

+/- 10 % für $1 \text{ a} \leq T \leq 5 \text{ a}$

+/- 15 % für $5 \text{ a} < T \leq 50 \text{ a}$

+/- 20 % für $50 \text{ a} < T \leq 100 \text{ a}$

Datenbasis: KOSTRA-DWD-2010R des Deutschen Wetterdienstes. Die Regenspende wurde auf Basis des Bemessungsniederschlags zur jeweiligen Andauer berechnet.

Für die Richtigkeit und Aktualität der Angaben wird keine Gewähr übernommen. Erstellt 07/2022.

Starkniederschlagshöhen und -spenden gemäß KOSTRA-DWD-2010R

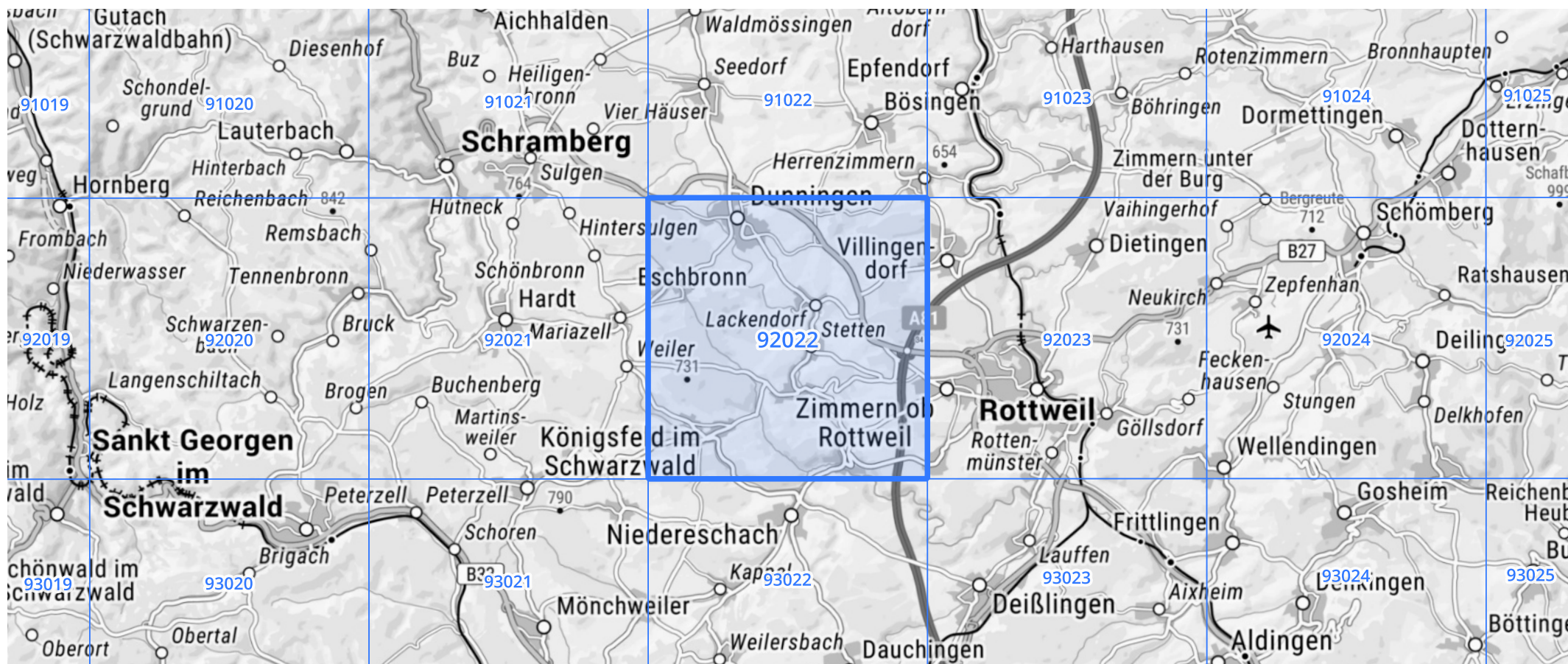
Auswertungszeitraum von 1951 - 2010, Januar - Dezember

Rasterfeld: 92022

Zeile: 92

Spalte: 22

Seite: 2/2



Quelle Rasterdaten: KOSTRA-DWD-2010R des Deutschen Wetterdienstes.

Kartendarstellung: © Bundesamt für Kartographie und Geodäsie (2022), Datenquellen: https://sgx.geodatenzentrum.de/web_public/gdz/datenquellen/Datenquellen_TopPlusOpen.html

Für die Richtigkeit und Aktualität der Angaben wird keine Gewähr übernommen. Erstellt 07/2022.